

# Superficies $K3$ , matrices de Hasse-Witt, y funciones hipergeométricas

Adriana Salerno  
asalerno@bates.edu

Bates College

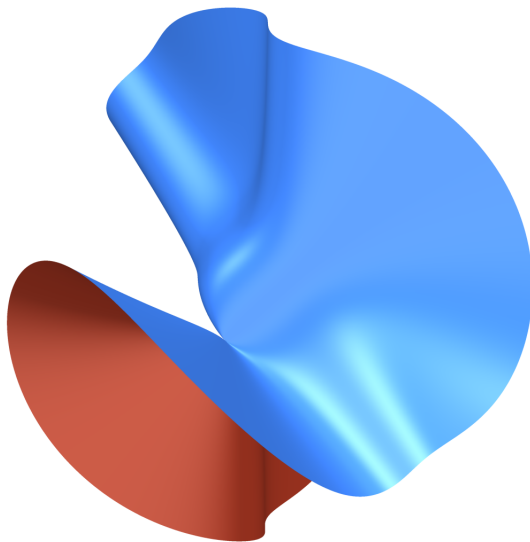
19 de Noviembre, 2020

## Colaboración con...



# La idea principal

Demostrar teoremas aritméticos utilizando simetría especular.



# La matriz de Hasse-Witt

Sea  $X$  una variedad “smooth” sobre un cuerpo finito  $\mathbb{F}_q$ , donde  $q = p^a$ . Entonces, el operador de Frobenius  $\mathcal{F}$  induce un mapa a  $p$ -lineal

$$H^n(X, \mathcal{O}_X) \xrightarrow{\mathcal{F}} H^n(X, \mathcal{O}_X).$$

La **matriz de Hasse-Witt**  $\text{HW}_p(X)$  es la matriz de este mapa (en alguna base).

# La matriz de Hasse-Witt para variedades Calabi-Yau

- ▶ Toda variedad Calabi-Yau  $X$  satisface que  $H^n(X, \mathcal{O}_X)$  es unidimensional.
- ▶ La “matriz” de Hasse-Witt es también unidimensional (o sea, podríamos llamarla la constante de Hasse-Witt).

# El número de puntos $(\text{mod } p)$



Figure: Nick Katz  
(Oberwolfach)

Una fórmula de Katz implica...

La matriz de Hasse-Witt de una variedad Calabi-Yau determina su número de puntos  $(\text{mod } p)$ .

# El algoritmo de Katz

Sea  $X$  una hipersuperficie de Calabi-Yau en  $\mathbb{P}^n$  dada por una ecuación  $f$ . Entonces la matriz de Hasse–Witt  $\text{HW}_p(X)$  es determinada por el coeficiente  $(x_0 \cdots x_n)^{p-1}$  en  $f^{p-1}$ .

# Katz y la familia de Fermat/Dwork

Consideremos la familia  $X_\psi$  de hipersuperficies Calabi–Yau en  $\mathbb{P}^n$  dada por

$$x_0^{n+1} + x_1^{n+1} + \cdots + x_n^{n+1} - (n+1)\psi x_0 \cdots x_n = 0.$$

Si  $n+1$  y  $p$  son coprimos, entonces  $\mathrm{HW}_p(X)$  es dada por una serie hipergeométrica **truncada**.



# Funciones y ecuaciones hipergeométricas

Para la familia Fermat  $X_\psi$  de hipersuperficies Calabi-Yau en  $\mathbb{P}^n$ :

- ▶ La ecuación de Picard-Fuchs es una ecuación diferencial hipergeométrica.
- ▶ La solución jolomórfica de esta ecuación de Picard-Fuchs es una serie hipergeométrica.
- ▶ Truncar esta serie nos da  $\text{HW}_p(X)$ .

# Teoría de cuerdas

Localmente, “space-time” es

$$M_{3,1} \times V.$$

- ▶  $M_{3,1}$  “space-time” de cuatro dimensiones
- ▶  $V$  es una variedad compleja de dimensión  $d$
- ▶ En física se requiere  $d = 3$  (6 real dimensions)
- ▶  $V$  es una **variedad Calabi-Yau**

# Simetría especular (Simetría de espejo)

Los físicos dicen . . .

- ▶ Las variedades de Calabi-Yau aparecen en **pares**  $(V, V^\circ)$ .
- ▶ Los universos descritos por  $M_{3,1} \times V$  y  $M_{3,1} \times V^\circ$  tienen **la misma física observable**.

Los matemáticos dicen . . .

- ▶ Las variedades de Calabi-Yau aparecen en **pares de familias**  $(V_\alpha, V_\alpha^\circ)$ .
- ▶ La simetría especular intercambia las estructuras complejas y las simplécticas.
- ▶ Se pueden relacionar las **variaciones** de estructuras complejas y simplécticas.

# Aritmética en la familia de Fermat de grado 5



Figure: Philip Candelas



Figure: Xenia de la Ossa



Figure: Fernando Rodríguez Villegas

# Simetría especular de Greene–Plesser

- ▶ Queremos obtener el espejo de “smooth quintics” en  $\mathbb{P}^4$

# Simetría especular de Greene–Plesser

- ▶ Queremos obtener el espejo de “smooth quintics” en  $\mathbb{P}^4$
- ▶ Consideramos la familia de Fermat  $X_\psi$  dada por

$$x_0^5 + x_1^5 + x_2^5 + x_3^5 + x_4^5 - 5\psi x_0 x_1 x_2 x_3 x_4 = 0$$

# Simetría especular de Greene–Plesser

- ▶ Queremos obtener el espejo de “smooth quintics” en  $\mathbb{P}^4$
- ▶ Consideramos la familia de Fermat  $X_\psi$  dada por

$$x_0^5 + x_1^5 + x_2^5 + x_3^5 + x_4^5 - 5\psi x_0 x_1 x_2 x_3 x_4 = 0$$

- ▶ Esta familia permite una acción por el grupo  $(\mathbb{Z}/5\mathbb{Z})^3$

# Simetría especular de Greene–Plesser

- ▶ Queremos obtener el espejo de “smooth quintics” en  $\mathbb{P}^4$
- ▶ Consideramos la familia de Fermat  $X_\psi$  dada por

$$x_0^5 + x_1^5 + x_2^5 + x_3^5 + x_4^5 - 5\psi x_0 x_1 x_2 x_3 x_4 = 0$$

- ▶ Esta familia permite una acción por el grupo  $(\mathbb{Z}/5\mathbb{Z})^3$
- ▶ Tomando el cociente por la acción de grupo y resolviendo singularidades obtenemos la familia espejo  $Y_\psi$ .



# Un patrón aritmético

Cuando  $\psi \in \mathbb{Z}$ , podemos comparar el número de puntos sobre  $X_\psi$  y su espejo  $Y_\psi$  sobre cuerpos finitos:

$$\#X_\psi(\mathbb{F}_q) \equiv \#Y_\psi(\mathbb{F}_q) \pmod{q}.$$

# Otras dimensiones

## Theorem (Wan '06)

Sea  $X_\psi$  la familia de Fermat de grado  $n + 1$  en  $\mathbb{P}^n$ , sea  $Y_\psi$  su espejo de Greene–Plesser. Entonces para  $\psi \in \mathbb{F}_q$  tal que  $X_\psi$  y  $Y_\psi$  son “smooth”,

$$\#X_\psi(\mathbb{F}_{q^k}) \equiv \#Y_\psi(\mathbb{F}_{q^k}) \pmod{q^k}.$$



Figure: Daqing Wan

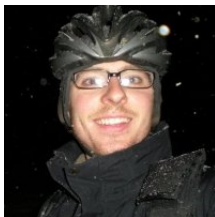
# Una definición importante ...

## Definition (Magyar–Whitcher '18)

Sean  $X_\psi$  y  $Y_\psi$  un par espejador de familias “smooth” de Calabi-Yau definidas sobre  $\mathbb{Q}$ . Supongamos que para cualquier primo  $p$  donde  $X_\psi$  y  $Y_\psi$  son de buena reducción y cualquier cuerpo finito  $\mathbb{F}_q$  de característica  $p$  y orden  $q$ ,

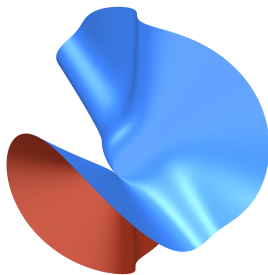
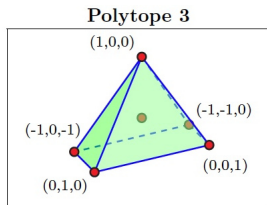
$$\#X_\psi(\mathbb{F}_q) \equiv \#Y_\psi(\mathbb{F}_q) \pmod{q}.$$

Entonces  $X_\psi$  y  $Y_\psi$  tienen *strong arithmetic mirror symmetry* (simetría espejador aritmética fuerte?) y son un *par espejador fuerte*.



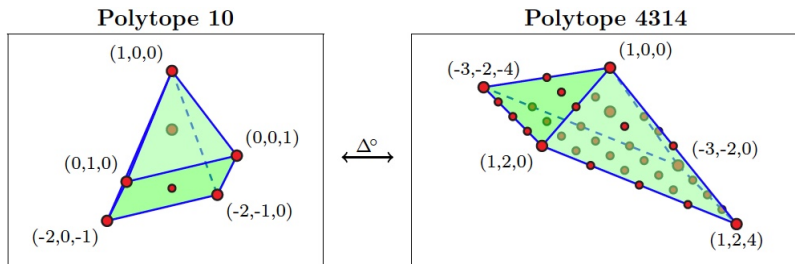
# Este proyecto: explorar consecuencias tóricas

Queremos demostrar “strong arithmetic mirror symmetry” para ciertas familias de variedades Calabi-Yau realizadas como hipersuperficies tóricas.



# La estrategia de Batyrev

Podemos describir familias especulares de variedades Calabi–Yau utilizando objetos combinatorios llamados **reflexive polytopes** (politopos reflexivos?).



# Politopo reflexivo

## Definition

Un politopo  $\Delta$  sobre un látice se dice ser **reflexivo** si  $\Delta^\circ$  también es un politopo sobre un látice'

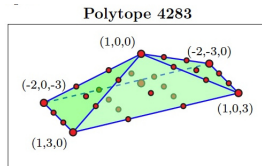
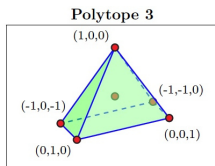
- ▶ Si  $\Delta$  es reflexivo,  $(\Delta^\circ)^\circ = \Delta$ .
- ▶  $\Delta$  y  $\Delta^\circ$  son un **par espejular**.

# Politopo reflexivo

## Definition

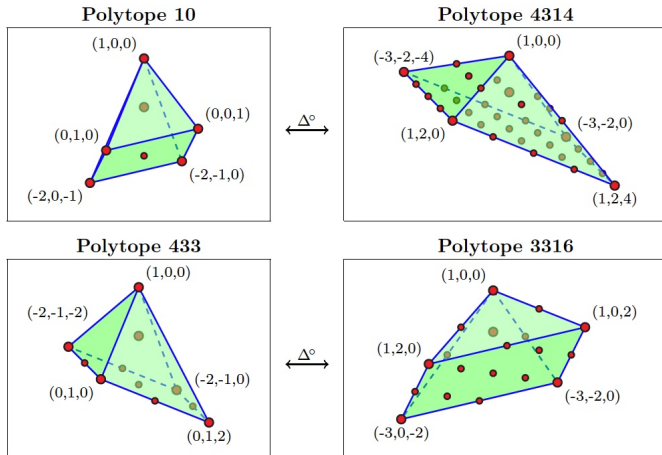
Un politopo  $\Delta$  sobre un látice se dice ser **reflexivo** si  $\Delta^\circ$  también es un politopo sobre un látice'

- ▶ Si  $\Delta$  es reflexivo,  $(\Delta^\circ)^\circ = \Delta$ .
- ▶  $\Delta$  y  $\Delta^\circ$  son un **par espejular**.



# Politopos combinatoriamente equivalentes

Dos politopos se dicen combinatoriamente equivalentes si hay una biyección entre sus caras que preserva inclusiones.





# Resultado principal

## Theorem (S, Whitcher '19)

Sean  $\Delta$  y  $\Gamma$  politopos reflexivos de dimensión  $n$  combinatoriamente equivalentes. Sean  $X_{\psi,\Delta}$  y  $W_{\psi,\Gamma}$  hipersuperficies de Calabi-Yau correspondientes. Entonces:

1. Si  $\Delta^\circ$  y  $\Gamma^\circ$  satisfacen un criterio de cociente tórico, entonces para todo  $\psi$  las matrices de Hasse–Witt de  $X_{\psi,\Delta}$  y  $W_{\psi,\Gamma}$  son iguales.
2. Si  $\Delta$  y  $\Gamma$  satisfacen un criterio de cociente tórico, entonces para todo  $\psi$  las matrices de Hasse–Witt de  $X_{\psi,\Delta}$  y  $W_{\psi,\Gamma}$  difieren  $(\text{mod } p)$  por un entero  $N$  independiente de  $\psi$ :

$$\text{HW}_p(X_\psi) \equiv \text{HW}_p(W_\psi) + N \pmod{p}.$$

# Demostración via Picard-Fuchs

- ▶ Resultado de Huang-Lian-Yau-Yu '18 relaciona las matrices de Hasse-Witt a ecuaciones de Picard Fuchs.

# Demostración via Picard-Fuchs

- ▶ Resultado de Huang-Lian-Yau-Yu '18 relaciona las matrices de Hasse-Witt a ecuaciones de Picard Fuchs.

## Lemma (Magyar-Whitcher '18)

*Sean  $\Delta$  y  $\Gamma$  politopos reflexivos que satisfacen un criterio de cociente tórico. Entonces las ecuaciones de PF de  $X_{\psi, \Delta}$  y  $W_{\psi, \Gamma}$  son iguales.*



# Strong mirror symmetry

## Corollary (S, Whitcher '19)

*Sean  $\Delta$  y  $\Gamma$  politopos reflexivos de dimensión  $n$  combinatoriamente equivalentes. Sean  $X_{\psi,\Delta}$  y  $W_{\psi,\Gamma}$  hipersuperficies de Calabi-Yau correspondientes. Si  $\Delta^\circ$  y  $\Gamma^\circ$  satisfacen un criterio de cociente tórico, entonces para todo  $\psi$  las matrices de Hasse–Witt*

$$\#X_{\psi,\Delta} \equiv \#W_{\psi,\Gamma} \pmod{p}.$$

# Example: A grouping of combinatorially equivalent $K3$ s

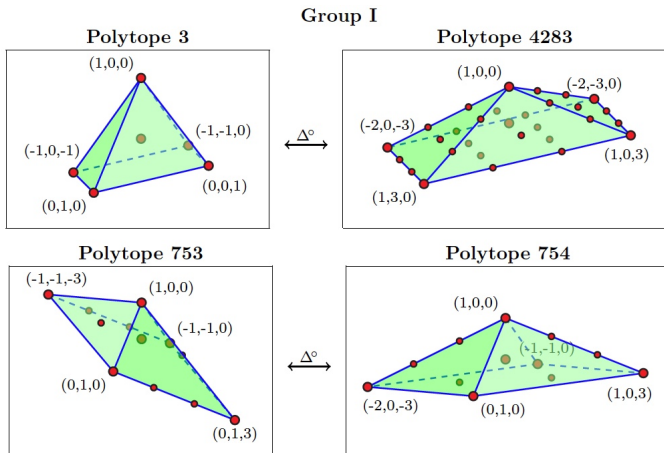


Figure: Magyar-Whitcher '18

# From polytopes to hypersurfaces

Polytope 3:

$$\psi z_1 z_2 z_3 z_4 z_5 z_6 + z_2^3 z_4^3 + z_3^3 z_4^3 + z_2^3 z_5^3 + z_3^3 z_5^3 + z_1^3$$

Polytope 753:

$$z_{10} z_{11} z_3^3 z_5^3 z_6^3 z_7^3 + z_{10}^2 z_2^3 z_5^3 z_6^2 z_7^2 z_8^2 z_9 + z_{11}^2 z_3^3 z_4^3 z_6^2 z_7^2 z_8^2 z_9 + z_{10} z_{11} z_2^3 z_4^3 z_8^3 z_9^3 \\ + \psi z_1 z_{10} z_{11} z_{12} z_2 z_3 z_4 z_5 z_6 z_7 z_8 z_9 + z_1^3 z_{10} z_{11}$$

## Picard Fuchs equation and point count

$$F'''(t) + \frac{6(t^3 + 27)}{t^4 + 108t} F''(t) + \frac{7t^2}{t^4 + 108t} F'(t) + \frac{t}{t^4 + 108t} F(t) = 0,$$

## Picard Fuchs equation and point count

$$F'''(t) + \frac{6(t^3 + 27)}{t^4 + 108t} F''(t) + \frac{7t^2}{t^4 + 108t} F'(t) + \frac{t}{t^4 + 108t} F(t) = 0,$$

is equivalent to the hypergeometric differential equation satisfied by

$${}_3F_2 \left( \frac{1}{3}, \frac{1}{3}, \frac{1}{3}; \frac{2}{3}, \frac{5}{6} \mid -\frac{t^3}{108} \right).$$



## Picard Fuchs equation and point count

$$F'''(t) + \frac{6(t^3 + 27)}{t^4 + 108t} F''(t) + \frac{7t^2}{t^4 + 108t} F'(t) + \frac{t}{t^4 + 108t} F(t) = 0,$$

is equivalent to the hypergeometric differential equation satisfied by

$${}_3F_2 \left( \frac{1}{3}, \frac{1}{3}, \frac{1}{3}; \frac{2}{3}, \frac{5}{6} \mid -\frac{t^3}{108} \right).$$

We match with HLYY coordinates (expanding around the point of maximally unipotent monodromy):

$${}_3F_2 \left( \frac{1}{2}, \frac{1}{3}, \frac{2}{3}; 1, 1 \mid -\frac{108}{t^3} \right).$$

## Picard Fuchs equation and point count

$$F'''(t) + \frac{6(t^3 + 27)}{t^4 + 108t} F''(t) + \frac{7t^2}{t^4 + 108t} F'(t) + \frac{t}{t^4 + 108t} F(t) = 0,$$

is equivalent to the hypergeometric differential equation satisfied by

$${}_3F_2 \left( \frac{1}{3}, \frac{1}{3}, \frac{1}{3}; \frac{2}{3}, \frac{5}{6} \mid -\frac{t^3}{108} \right).$$

We match with HLYY coordinates (expanding around the point of maximally unipotent monodromy):

$${}_3F_2 \left( \frac{1}{2}, \frac{1}{3}, \frac{2}{3}; 1, 1 \mid -\frac{108}{t^3} \right).$$

The point count is

$$\#X_t \equiv 1 + \left[ {}_3F_2 \left( \frac{1}{2}, \frac{1}{3}, \frac{2}{3}; 1, 1 \mid -\frac{108}{t^3} \right) \right]^{(p-1)} \pmod{p}.$$

# Picard-Fuchs equations and symmetric squares

## Theorem (Doran)

*The Picard-Fuchs equation of a family of rank-19 lattice-polarized K3 surfaces can be written as the symmetric square of a second-order homogeneous linear Fuchsian differential equation.*

# Picard-Fuchs equations and symmetric squares

## Theorem (Doran)

*The Picard-Fuchs equation of a family of rank-19 lattice-polarized K3 surfaces can be written as the symmetric square of a second-order homogeneous linear Fuchsian differential equation.*

The symmetric square root of the PF equation above is:

$$F''(t) + \frac{2t^3 + 54}{t^4 + 108t} F'(t) + \frac{t^2}{4(t^4 + 108t)} F(t) = 0$$

# Picard-Fuchs equations and symmetric squares

## Theorem (Doran)

*The Picard-Fuchs equation of a family of rank-19 lattice-polarized K3 surfaces can be written as the symmetric square of a second-order homogeneous linear Fuchsian differential equation.*

The symmetric square root of the PF equation above is:

$$F''(t) + \frac{2t^3 + 54}{t^4 + 108t} F'(t) + \frac{t^2}{4(t^4 + 108t)} F(t) = 0$$

which has hypergeometric solution:

$${}_2F_1\left(\frac{1}{6}, \frac{1}{6}; \frac{5}{6} \mid -\frac{t^3}{108}\right)$$

## Fun hypergeometric fact

Classical (c.f. Slater):

$${}_2F_1\left(a, b; a + b + \frac{1}{2} \mid z\right)^2 = {}_3F_2\left(2a, 2b, a + b; 2a + 2b, a + b + \frac{1}{2} \mid z\right)$$

## Fun hypergeometric fact

Classical (c.f. Slater):

$${}_2F_1\left(a, b; a + b + \frac{1}{2} \mid z\right)^2 = {}_3F_2\left(2a, 2b, a + b; 2a + 2b, a + b + \frac{1}{2} \mid z\right)$$

So

$${}_2F_1\left(\frac{1}{6}, \frac{1}{6}; \frac{5}{6} \mid -\frac{t^3}{108}\right)^2 = {}_3F_2\left(\frac{1}{3}, \frac{1}{3}, \frac{1}{3}; \frac{2}{3}, \frac{5}{6} \mid -\frac{t^3}{108}\right)$$

## Fun hypergeometric fact

Classical (c.f. Slater):

$${}_2F_1\left(a, b; a + b + \frac{1}{2} \mid z\right)^2 = {}_3F_2\left(2a, 2b, a + b; 2a + 2b, a + b + \frac{1}{2} \mid z\right)$$

So

$${}_2F_1\left(\frac{1}{6}, \frac{1}{6}; \frac{5}{6} \mid -\frac{t^3}{108}\right)^2 = {}_3F_2\left(\frac{1}{3}, \frac{1}{3}, \frac{1}{3}; \frac{2}{3}, \frac{5}{6} \mid -\frac{t^3}{108}\right)$$

The point count is a quadratic residue (mod  $p$ )!



# Modularity!

Look up in J. Harnad CRM report '98, and then Conway & Norton (Monstrous Moonshine '79):

$${}_2F_1\left(\frac{1}{6}, \frac{1}{6}; \frac{5}{6} \mid -108z^3\right)$$

is associated to the modular group  $\Gamma_0(3)_+$ , meaning it has all of its Atkin Lehner involutions.

Gracias!